

ДИФФЕРЕНЦІАЛЬНІ УРАВНЕНИЯ ДВІЖЕННЯ ЖИДКОСТІ В ПНЕВМОГІДРАВЛІЧСКИХ ТРАКТАХ НАСОСНО-ЭРЛІФТНОЇ УСТАНОВКИ В ПЕРИОД ПУСКА

Логвинов Н.Г. докт. техн. наук, проф.,

Игнатов А.В. канд. тех. наук, доц.,

Донецкий государственный технический университет

Исследованы переходные процессы в пневмогидравлических трактах насосно-эрлифтной установки в период пуска.

The transients in pneumohydraulic pathes of pump-air-lift installation are investigated during start-up.

Рассмотрим переходные процессы в пневмогидравлических трактах насосно-эрлифтной установки, схема которой приведена на рисунке, где 1 – нагнетательный трубопровод насоса и питающий трубопровод эрлифта; 2 – подъемная труба; 3 – питающий воздухопровод.

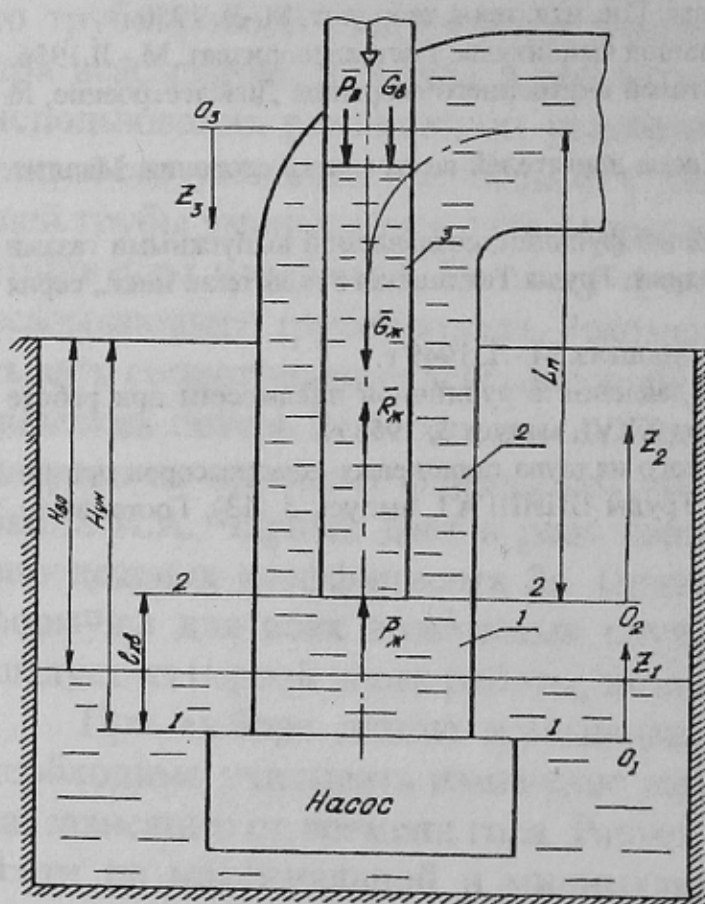


Рисунок – Расчетная схема насосно-эрлифтной установки

Переходные процессы в период пуска рассматриваются в предположении, что насос уже работает и начинает осуществляться подача сжатого воздуха в воздухопровод эрлифта. Исследуется период вытеснения жидкости из воздухопровода сжатым воздухом вплоть до его прорыва через смеситель в подъемную трубу эрлифта. При этом насос трактуется как безинерционное звено.

Движение жидкости в подводящем трубопроводе описывается при помощи уравнения Бернулли для неустановившегося движения /1/. Для подводящего трубопровода

проводе это уравнение имеет вид

$$H_H + \frac{p_1}{\rho g} + \frac{\alpha V_1^2}{2g} = l_{x\theta} + \frac{p_2}{\rho g} + \frac{\alpha V_1^2}{2g} + \Delta h_{nom} + \alpha_0 \frac{l_{x\theta}}{g} \frac{dV_1}{dt}, \quad (1)$$

где H_H -напор, развиваемый насосом, м; p_1 -гидростатическое давление в сечении 1-1, Па; V_1 -скорость жидкости в подводящем трубопроводе, м/с; ρ - плотность жидкости, кг/м³; g -ускорение свободного падения, м/с²; α - коэффициент Кориолиса; α_0 - коэффициент Буссинеска; $l_{x\theta}$ - длина подводящего трубопровода, м; p_2 -гидростатическое давление в сечении 2-2, Па; Δh_{nom} - потери напора в подводящем трубопроводе, м; t - время, с.

По рекомендациям, приведенным в /1/, принимаем $\alpha \approx 1$, $\alpha_0 \approx 1$.

Для определения Δh_{nom} применяется зависимость

$$\Delta h_{nom} = \lambda_1 \frac{l_{x\theta}}{d_{x\theta}} \cdot \frac{V_1^2}{2g}, \quad (2)$$

где λ_1 - коэффициент гидравлического трения для подводящего трубопровода; $d_{x\theta}$ - диаметр подводящего трубопровода, м.

Напор, развиваемый центробежным насосом, выражается зависимостью /2/

$$H_H = e_0 + e_1 Q + e_2 Q^2 = e_0 + e_1 F_{x\theta} V_1 + e_2 (F_{x\theta} V_1)^2, \text{ Па} \quad (3)$$

где Q -подача насоса, м³/с; $F_{x\theta}$ - площадь сечения подводящего трубопровода, м².

С учетом выбранной оси отсчета Z_1

$$p_1 = \rho g (H_{y\theta} - H_{so} - z_1 \frac{F_{x\theta}}{F_{ctv}}), \text{ Па} \quad (4)$$

где $H_{y\theta}$ -глубина установки насоса, м; H_{so} -уровень воды в стволе перед пуском, м; F_{ctv} -площадь поперечного сечения ствола, м².

С учетом (2)...(4) уравнение (1) преобразуется в следующее выражение

$$\begin{aligned} e_0 + e_1 F_{x\theta} \dot{Z}_1 + e_2 (F_{x\theta} \cdot \dot{Z}_1)^2 + H_{y\theta} - H_{so} - Z_1 \frac{F_{x\theta}}{F_{ctv}} = \\ = l_{x\theta} + \frac{p_2}{\rho g} + \lambda_1 \frac{l_{x\theta}}{d_{x\theta}} \cdot \frac{\dot{Z}_1^2}{2g} + l_{x\theta} \frac{\ddot{Z}_1}{2g} \end{aligned}$$

или, після преобразування,

$$D_1 \ddot{Z}_1 + D_2 \dot{Z}_1^2 + D_3 \dot{Z}_1 + D_4 Z_1 = p_2 + D_5, \quad (5)$$

где

$$D_1 = -\rho \cdot l_{x\theta}, \quad D_2 = -\rho \cdot g(e_2 F_{x\theta}^2 - \lambda_1 \frac{l_{x\theta}}{2g d_{x\theta}}),$$

$$D_3 = -\rho g e_1 F_{x\theta}, \quad D_4 = \rho g \frac{F_{x\theta}}{F_{cm\theta}},$$

$$D_5 = -\rho g (e_0 + H_{y\theta} - H_{\theta\theta} - l_{x\theta}).$$

Для підйомного трубопровода уравнення Бернуллі має вид

$$\frac{p_2}{\rho g} + \alpha \frac{V_2^2}{2g} = L_n + \lambda_2 \frac{L_n}{d_n} \cdot \frac{V_2^2}{2g} + \alpha_0 \frac{L_n}{g} \cdot \frac{dV_2}{dt}, \quad (6)$$

где λ_2 - коефіцієнт гідравлического тренія для підйомної трубы; V_2 - швидкість руху рідини в підйомній трубі, м/с.

С урахуванням вибраної осі відліку Z_2 і виконаних преобразувань уравнення (6) приймає вид

$$M_1 \ddot{Z}_2 + M_2 \dot{Z}_2^2 = p_2 + M_3, \quad (7)$$

где $M_1 = \rho \cdot L_n$, $M_2 = \lambda_2 \frac{L_n}{d_g} \cdot \rho \cdot g$, $M_3 = -\rho \cdot g L_n$.

Для складання диференціального уравнення руху рідини в повітряному трубопроводі використовуємо уравнення динаміки тіла змінної маси, записане в проекціях на ось Z_3 /3-4/

$$m \ddot{Z}_3 = \sum F_{kz_3}^e + \frac{dm}{dt} \cdot U_{z_3}, \quad (8)$$

где m - маса рідини в повітряному трубопроводі, кг; Z_3 - координата свободної поверхні рідини в повітряному трубопроводі; $\sum F_{kz_3}^e$ - сума проекцій на ось Z_3 зовнішніх сил, діючих на рухому рідину в повітряному трубопроводі; H ; U_{z_3} - проекція на ось Z_3 вектора швидкості рухомої рідини в повітряному трубопроводі в процесі її відділення, м/с.

Перемінна маса рідини в повітряному трубопроводі

$$m = \rho \cdot (L_n - Z_3) F_{\theta\theta}, \quad (9)$$

где $F_{\theta\theta}$ - площа поперечного сечення повітряного трубопроводу, м^2 .

Отже

$$\frac{dm}{dt} = -\rho \cdot \dot{Z}_3 F_{63}, \quad (10)$$

$$\sum F_{kz_3}^e = P_{63} + G_e + G_{\infty} - P_{\infty} - R_{\infty},$$

где P_{63} - сила давления сжатого воздуха, Н; G_e - сила тяжести объема воздуха, Н; G_{∞} - сила тяжести объема жидкости, Н; P_{∞} - сила давления, действующая на массу жидкости в воздухопроводе со стороны подводящего трубопровода; R_{∞} - сила сопротивления движению жидкости в воздухопроводе, Н.

Давление сжатого воздуха на верхнюю поверхность жидкости $P_{63} = P_e \cdot F_{63}$, где P_e - избыточное давление сжатого воздуха, Па.

Считая, что подача сжатого воздуха компрессором объемного действия есть величина постоянная, получим

$$P_e = \frac{V_0}{\dot{Z}_3} \cdot \frac{P_a}{F_{63}} - P_a, \quad (11)$$

где V_0 - производительность компрессора при атмосферном давлении $P_a = 9,8 \cdot 10^4$ Па, м³/с.

$$G_{\infty} = \rho \cdot g (L_n - Z_3) F_{63}, \quad (12)$$

$$G_e = \rho_{63} g Z_3 F_{63},$$

где ρ_{63} - плотность сжатого воздуха, кг/м³.

Принимаем

$$\rho_{63} = \rho_0 \cdot \frac{P_e + P_a}{P_a} = \rho_0 \cdot \frac{V_0}{\dot{Z}_3 F_{63}},$$

где ρ_0 - плотность воздуха при нормальных условиях, кг/м³.

$$\text{Тогда } G_e = \rho_0 V_0 g \frac{\dot{Z}_3}{Z_3}, \quad (13)$$

$$P_{\infty} = P_2 F_{63}, \quad (14)$$

$$R_{\infty} = \lambda_3 \frac{L_n - Z_3}{d_{63}} \cdot \frac{\dot{Z}_3^2}{2} \rho \cdot F_{63}, \quad (15)$$

где λ_3 - коэффициент гидравлического сопротивления при движении жидкости в воздухопроводе; d_{63} - диаметр воздухопровода, м.

Подставив (9)...(15) в (8), получим

$$\ddot{Z}_3 = \frac{1}{(N_1 + N_2 Z_3)} \cdot \left(\frac{N_3}{\dot{Z}_3} + N_4 \frac{Z_3}{\dot{Z}_3} + N_6 Z_3^2 + N_8 + N_9 P_2 \right) + \\ + N_5 + N_7 \dot{Z}_3^2, \quad (16)$$

где $N_1 = \rho \cdot L_n F_{63}$, $N_2 = -\rho \cdot F_{63}$,

$$N_3 = V_0 P_a, \quad N_4 = \rho_0 V_0 g,$$

$$N_5 = g, \quad N_6 = -\rho \cdot F_{63}, \quad N_7 = -\lambda_3 / (2d_{63}),$$

$$N_8 = -P_a F_{63}, \quad N_9 = -F_{63}.$$

Таким образом, с учетом уравнения неразрывности потока движение жидкости в пневмогидравлических трактах насосно-эрлифтной установки описывается следующей системой нелинейных дифференциальных уравнений второго порядка:

$$\begin{cases} D_1 \ddot{Z}_1 + D \dot{Z}_1^2 + D_3 \dot{Z}_1 + D_4 Z_1 = P_2 + D_5, \\ M_1 \ddot{Z}_2 + M_2 \dot{Z}_2^2 = P_2 + M_3, \\ \ddot{Z}_3 = \frac{1}{(N_1 + N_2 Z_3)} \cdot \left(\frac{N_3}{\dot{Z}_3} + N_4 \frac{Z_3}{\dot{Z}_3} + N_6 \dot{Z}_3^2 + N_8 + N_9 P_2 \right) + N_5 + N_7 \dot{Z}_3^2, \\ \dot{Z}_1 F_{x8} + \dot{Z}_3 F_{63} = \dot{Z}_2 F_n, \end{cases}$$

Список источников.

- Чугаев Р.Р. Гидравлика: Учебник для вузов. - Л.Энергоиздат, 1982.-672с.
- Игнатов А.В., Бондарь Ю.В. Определение коэффициентов уравнений, аппроксимирующих характеристические кривые шахтных насосов/ВНИГМ им. М.М.Федорова. - Донецк, 1980 - 5с. - Деп. в ЦНИЭИуголь 04.08.80, №1834.
- Мещерский И.В. Работы по механике тел переменной массы-М. - Л.: Гостехтеориздат, 1949.-270 с.
- Петров Г.А. Гидравлика переменной массы Харьков: ХГУ, 1964.-224с.